



## สมบัติของวัสดุแกนดิวจากวัสดุเชิงประกอบพลาสติกและผงไม้ยางพาราที่มีแกนกลางจากพลาสติกต่างชนิด

จันทโรทัย พรหมจันทร์ และ ธเนศ รัตนวิไล\*

สาขาวิชาวิศวกรรมอุตสาหการและการผลิต คณะวิศวกรรมศาสตร์ มหาวิทยาลัยสงขลานครินทร์ จังหวัดสงขลา

ชาตรี หอมเขียว

สาขาวิศวกรรมอุตสาหการ คณะวิศวกรรมศาสตร์ มหาวิทยาลัยเทคโนโลยีราชมงคลศรีวิชัย จังหวัดสงขลา

\* ผู้นิพนธ์ประสานงาน โทรศัพท์ 0 7428 7151 อีเมล: thanate.r@psu.ac.th DOI: 10.14416/j.kmutnb.2021.11.009

รับเมื่อ 16 กรกฎาคม 2563 แก้ไขเมื่อ 10 กันยายน 2563 ตอรับเมื่อ 30 กันยายน 2563 เผยแพร่ออนไลน์ 15 พฤศจิกายน 2564

© 2022 King Mongkut's University of Technology North Bangkok. All Rights Reserved.

### บทคัดย่อ

ปัจจุบันมีการนำพลาสติกมาใช้กันอย่างแพร่หลายในชีวิตประจำวัน ทำให้เกิดขยะในปริมาณมากและไม่สามารถย่อยสลายด้วยตัวเองได้ ก่อให้เกิดอันตรายต่อชีวิตจากการกำจัดขยะพลาสติกที่ไม่ถูกวิธี ดังนั้นหากมีการนำพลาสติกชนิดต่างๆ ที่สามารถนำมาใช้ซ้ำได้จะช่วยลดปัญหา และเพิ่มมูลค่าของพลาสติกใช้แล้วไม่ว่าจะเป็นพอลิเอทิลีนรีไซเคิล พอลิเอทิลีนชนิดความหนาแน่นสูงรีไซเคิล และพอลิโพรพิลีนรีไซเคิล ซึ่งเป็นชนิดของพลาสติกที่พบว่า เป็นขยะมูลฝอยที่มีปริมาณมาก เพื่อนำมาเป็นแกนกลางในการประกอบเป็นวัสดุแกนดิวซึ่งเป็นทางเลือกที่น่าสนใจ วัสดุแกนดิวประกอบด้วยแผ่นประกบ 2 ชั้น ทำมาจากวัสดุเชิงประกอบพลาสติกชนิดพอลิโพรพิลีนรีไซเคิลและผงไม้ยางพารา โดยมีวัตถุประสงค์เพื่อปรับปรุงสมบัติทางกล และทางกายภาพของวัสดุเชิงประกอบพลาสติกและไม้ ได้แก่ สมบัติแรงดัด สมบัติการกระแทก ความสามารถในการยึดเหนี่ยวของตะปูเกลียวบริเวณผิว และขอบของชิ้นงานและสมบัติการดูดซับน้ำ แล้วนำมาเปรียบเทียบกับวัสดุเชิงประกอบพลาสติกพอลิโพรพิลีนรีไซเคิล และผงไม้ยางพาราแบบชั้นเดียว โดยมีวิธีการศึกษา 3 ขั้นตอนสำคัญ ได้แก่ 1) การผลิตแผ่นประกบจากวัสดุเชิงประกอบพลาสติกและไม้ 2) การผลิตแผ่นแกนกลาง และ 3) การประกอบเป็นแผ่นวัสดุแกนดิว โดยการนำแผ่นประกบจากวัสดุเชิงประกอบพลาสติกและไม้จำนวน 2 ชั้น ประกบแผ่นแกนกลางแล้วอัดขึ้นรูปด้วยเครื่องอัดร้อนที่อุณหภูมิอยู่ในช่วง 150–190 องศาเซลเซียส ผลการทดสอบพบว่า แผ่นวัสดุแกนดิวมีความสามารถในการรับแรงดัด และแรงกระแทกได้ดีขึ้นถึง 63% และ 68% ตามลำดับ เมื่อเทียบกับวัสดุเชิงประกอบพลาสติกและไม้แบบชั้นเดียว และให้ค่าที่ดีที่สุดเมื่อแผ่นวัสดุแกนดิวมีแกนกลางทำมาจากพอลิโพรพิลีนรีไซเคิลเมื่อเปรียบเทียบกับแกนกลางชนิดอื่นที่ใช้ในการศึกษา นอกจากนี้ยังพบว่า แผ่นวัสดุแกนดิวมีการดูดซับน้ำลดลงมากถึง 67% และให้ค่าความยึดเหนี่ยวตะปูเกลียวทั้งผิวหน้า และขอบชิ้นงานสอดคล้องตามมาตรฐานการทดสอบอีกด้วย

**คำสำคัญ:** วัสดุแกนดิว วัสดุเชิงประกอบพลาสติกและไม้ สมบัติทางกล ผงไม้ยางพารา ความยึดเหนี่ยวตะปูเกลียว

การอ้างอิงบทความ: จันทโรทัย พรหมจันทร์, ธเนศ รัตนวิไล และ ชาตรี หอมเขียว, “สมบัติของวัสดุแกนดิวจากวัสดุเชิงประกอบพลาสติกและผงไม้ยางพาราที่มีแกนกลางจากพลาสติกต่างชนิด,” *วารสารวิชาการพระจอมเกล้าพระนครเหนือ*, ปีที่ 32, ฉบับที่ 3, หน้า 700–711, ก.ค.-ก.ย. 2565.



## The Property of Sandwich-structure Rubberwood-plastic Composites with Different Plastic Core Layer

Jantarotai Promjan and Thanate Ratanawilai\*

Department of Industrial and Manufacturing Engineering, Faculty of Engineering, Prince of Songkla University, Songkhla, Thailand  
Chatree Homkhiew

Department of Industrial Engineering, Faculty of Engineering, Rajamangala University of Technology Srivijaya, Songkhla, Thailand

\* Corresponding Author, Tel. 0 7428 7151, E-mail: thanate.r@psu.ac.th DOI: 10.14416/j.kmutnb.2021.11.009

Received 16 July 2020; Revised 10 September 2020; Accepted 30 September 2020; Published online: 15 November 2021

© 2022 King Mongkut's University of Technology North Bangkok. All Rights Reserved.

### Abstract

Nowadays, plastics are widely used in daily life, causing the large amounts of waste. This kind of waste emerges from non-biodegradable materials and thus can become hazardous to life in case of improper waste disposal. Recycling process is a solution to reduce waste problems while increasing its value. The most common plastic wastes including recycled polyethylene, recycled high-density polyethylene, and recycled polypropylene were selected to form a sandwich structure panel as a core layer, whereas the face-sheet layers were rubberwood flour/ polypropylene composites (WPCs). Therefore, the goal of this study is to improve the mechanical and physical properties of wood plastic composites, in particular flexural properties, impact properties, screw holding resistance, and water absorbing properties in comparison with the face-sheet layer of a sandwich structure panel alone. Three stages of the study were carried out: 1) making the face-sheet layer from rubberwood flour/ polypropylene composites 2) forming the core layer from different types of recycle plastics and 3) assembling the sandwich panels by using hot-press machine with the temperature ranging from 150 to 190 °C. The sandwich panels showed the improvement in both flexural and impact strength of up to 63% and 68%, respectively, as compared with the face-sheet layer of wood-plastic composites. The optimal property was found when the recycled polypropylene was used as a core layer in preference to the other materials used in this study. Moreover, water absorption of sandwich panels was considerably reduced by 67% whereas the screw holding resistance value on both surface and edge of the test sample was found to meet the criteria of the testing standards as well.

**Keywords:** Sandwich Structure, Wood Plastic Composites, Mechanical Properties, Rubberwood Flour, Screw Holding Resistance

Please cite this article as: J. Promjan, T. Ratanawilai, and C. Homkhiew, "The property of sandwich-structure rubberwood-plastic composites with different plastic core layer," *The Journal of KMUTNB*, vol. 32, no. 3, pp. 700–711, Jul.–Sep. 2022 (in Thai).



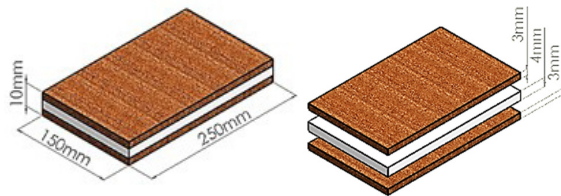
## 1. บทนำ

วัสดุเชิงประกอบพลาสติกและไม้ (Wood Plastic Composites; WPCs) เป็นวัสดุที่ได้รับความนิยมในการทำเป็นวัสดุก่อสร้าง บรรจุก่อสร้าง การขนส่ง ตลอดจนไปถึงการทำเฟอร์นิเจอร์ [1] เนื่องจากสมบัติของวัสดุเชิงประกอบพลาสติกและไม้มีข้อได้เปรียบกว่าไม้จากธรรมชาติในหลายๆ ด้าน เช่น มีความแข็งแรงทนทานสูง มีความคงรูปสูง ดูดซับน้ำน้อย เกิดเชื้อราได้น้อย และต้นทุนในการบำรุงรักษาต่ำ อย่างไรก็ตาม วัสดุเชิงประกอบพลาสติกและไม้ประกอบด้วยวัสดุสองชนิดที่มีสมบัติแตกต่างกัน ทำให้การยึดเกาะระหว่างกัน ในขณะที่ขึ้นรูปทำได้ไม่ดีพอ ส่งผลให้วัสดุเชิงประกอบพลาสติกและไม้มีความสามารถในการรับแรงได้น้อย [2] จึงมีแนวทางการแก้ปัญหาด้วยการนำเส้นใยสังเคราะห์ชนิดต่างๆ มาเป็นส่วนผสมเพื่อลดข้อจำกัดดังกล่าว เช่น การเลือกใช้เส้นใยแก้ว (Glass Fiber) เส้นใยอารามิด (Aramid Fiber) เส้นใยเคพลาร์ (Kevlar Fiber) และเส้นใยคาร์บอน (Carbon Fiber) [3]–[5] มาเป็นส่วนผสม แต่เส้นใยสังเคราะห์เหล่านี้ อาจส่งผลให้เกิดความระคายเคืองต่อผู้ใช้ อีกทั้งมีราคาสูง และอาจก่อกร่อนเครื่องจักรอันจะส่งผลให้เครื่องจักรเกิดการสึกหรอในระหว่างการใช้งานได้ อีกทั้งยังไม่สามารถนำมาใช้ซ้ำได้อีกด้วย

นอกเหนือจากการปรับปรุงสมบัติของวัสดุเชิงประกอบพลาสติกและไม้ด้วยการปรับเปลี่ยนวัสดุผสมแล้ว อีกแนวทางหนึ่งในการเพิ่มประสิทธิภาพของวัสดุเชิงประกอบพลาสติกและไม้ คือการปรับเปลี่ยนโครงสร้างของวัสดุจากวัสดุผสมแบบชั้นเดียวเป็นโครงสร้างแบบแซนด์วิช หรือวัสดุแซนด์วิช (Sandwich-structured) ดังแสดงในรูปที่ 1 ซึ่งประกอบด้วยแผ่นประกบ (Face-sheet) ด้านบนและด้านล่าง มีความบางแต่แข็งแรงสูง และแกนกลาง (Core) ซึ่งเป็นส่วนสำคัญของวัสดุแซนด์วิช ทำมาจากวัสดุอ่อน มีจุดเด่นคือน้ำหนักน้อย มีความคงรูปและรับแรงได้ดี และสามารถเลือกใช้ตามความต้องการในการนำไปประยุกต์ใช้งานได้ [6], [7] ตัวอย่างเช่น วัสดุแซนด์วิชจากแผ่นประกบวัสดุเชิงประกอบพลาสติกพอลิเอทิลีนชนิดความหนาแน่นต่ำเสริมแรงกับผงไม้ปาล์ม แกนกลางทำจากพลาสติกพอลิเอทิลีนชนิดความหนาแน่นต่ำ

ทำให้มีความสามารถในการรับแรงดัดและแรงกระแทกเพิ่มขึ้นเป็น 42% และ 77% ตามลำดับ การดูดซับน้ำลดลงเมื่อเทียบกับวัสดุเชิงประกอบพอลิเอทิลีนชนิดความหนาแน่นต่ำเสริมแรงกับผงไม้ปาล์มชั้นเดียว [8] โครงสร้างแบบแซนด์วิชจากแผ่นประกบเส้นใยคาร์บอน เสริมแรงกับกาวอีพ็อกซี แกนกลางทำจากโฟมพอลิโพรพิลีนหรือแผ่นอะลูมิเนียมแบบรีงผึ้ง ทำให้ค่าความแข็งแรงสูงขึ้น 10% และ 20% ตามลำดับ เมื่อเทียบกับวัสดุเชิงประกอบเส้นใยคาร์บอนเสริมแรงกับกาวอีพ็อกซีชั้นเดียว [9] อีกตัวอย่างที่รู้จักกันอย่างแพร่หลายคือกระจกกันกระสุนที่เคลือบด้วยแก้วหรือวัสดุเชิงประกอบพลาสติกและไม้โดยทั่วไปแล้วกระจกกันกระสุนจะประกอบด้วยชั้นกระจกลามิเนต เช่น โซดาไลม์ซิลิเกต โบโรซิลิเกต และกระจกแซฟไฟร์ ส่วนแกนกลางจะเป็นวัสดุที่มีความยืดหยุ่น เช่น พอลิไวนิล พอลิยูรีเทน พอลิคาร์บอนเนตหรือพอลิเอสเตอร์ ซึ่งช่วยลดแรงกระแทกของกระสุนได้เป็นอย่างดี [10]–[12] ผลจากการศึกษาวิจัยที่เกี่ยวข้องข้างต้น จะเห็นได้ว่าวัสดุแกนกลางจากพอลิเมอร์ที่มีความยืดหยุ่นสามารถประยุกต์ใช้ในการปรับปรุงสมบัติวัสดุแซนด์วิชได้ อย่างไรก็ตาม งานวิจัยที่ประยุกต์ใช้พลาสติกที่สามารถนำมาใช้ซ้ำมาประกอบเป็นวัสดุแซนด์วิชยังมีจำนวนจำกัด จึงถูกเลือกให้มาเป็นวัสดุแกนกลางในการขึ้นรูปชิ้นงานทดสอบวัสดุแซนด์วิชในงานวิจัยนี้

ผลจากความนิยมในการใช้พลาสติกกันอย่างแพร่หลายทำให้เกิดขยะในปริมาณมาก และไม่สามารถย่อยสลายด้วยตัวเองได้เนื่องจากเป็นสารสังเคราะห์ ซึ่งอาจก่อให้เกิดอันตรายต่อชีวิตจากการกำจัดขยะพลาสติกที่ไม่ถูกวิธี ดังนั้นหากมีการนำพลาสติกชนิดต่างๆ ที่สามารถนำมาใช้ซ้ำได้ ไม่ว่าจะเป็นพอลิเอทิลีนรีไซเคิล พอลิเอทิลีนชนิดความหนาแน่นสูง และพอลิโพรพิลีนรีไซเคิล ซึ่งเป็นชนิดของพลาสติกที่พบว่า เป็นขยะมูลฝอยที่มีปริมาณมาก [13] มาเป็นแกนกลางและจัดทำแผ่นประกบจากวัสดุเชิงประกอบพลาสติกพอลิโพรพิลีนรีไซเคิล และผงไม้ยางพาราเพื่อประกอบเป็นวัสดุแซนด์วิชจึงเป็นวัตถุประสงค์หลักของงานวิจัยนี้ โดยมุ่งเน้นในการปรับปรุงสมบัติทางกลและทางกายภาพของวัสดุเชิงประกอบพลาสติกและไม้ ได้แก่ สมบัติการต้านแรงดัด การต้านแรงกระแทก ความสามารถในการยึดเหนี่ยวของตะปูเกลียวบริเวณผิวและ



รูปที่ 1 วัสดุแกนดัด 3 ชั้น โดยมีแผ่นประกบด้านบนและล่างจากวัสดุเชิงประกอบพลาสติกและไม้ แกนกลางจากพลาสติก

ขอบของชิ้นงาน และสมบัติการดูดซับน้ำ เพื่อเปรียบเทียบกับวัสดุเชิงประกอบพลาสติกพอลิโพรพิลีนรีไซเคิลและผงไม้ยางพาราแบบชั้นเดียว สำหรับช่วยในการตัดสินใจในการนำมาประยุกต์ใช้เพื่อลดการใช้ไม้จากธรรมชาติ อีกทั้งยังเป็นการนำพลาสติกที่ใช้แล้วมาใช้ซ้ำเพื่อให้เกิดวัสดุทางเลือกในทางวิศวกรรมได้เพิ่มมากขึ้น

## 2. วัสดุ อุปกรณ์ และวิธีการวิจัย

### 2.1 วัสดุ

ผงไม้ยางพาราที่นำมาใช้เป็นวัสดุเสริมแรงให้แก่วัสดุเชิงประกอบพลาสติกและไม้เป็นวัสดุเหลือใช้จากกระบวนการตัด และการเลื่อยไม้ของโรงงานแปรรูปไม้ยางพาราในจังหวัดสงขลา และเม็ดพลาสติกชนิดพอลิโพรพิลีนรีไซเคิลสำหรับผสมเป็นวัสดุเชิงประกอบพลาสติกและไม้ และใช้สารคู่ควบเพื่อช่วยในการยึดเกาะระหว่างผงไม้ยางพาราและพลาสติก คือ สารคู่ควบ สารเติมแต่ง คือ สารต้านทานรังสียูวี และสารหล่อลื่น เพื่อช่วยในกระบวนการขึ้นรูป ส่วนแกนกลางขึ้นรูปจากพอลิเอทิลีนรีไซเคิล (Recycled polyethylene; rPE) พอลิเอทิลีนชนิดความหนาแน่นสูงรีไซเคิล (Recycled high-density polyethylene; rHDPE) และพอลิโพรพิลีนรีไซเคิล (Recycled polypropylene; rPP)

### 2.2 การผลิตชิ้นงานทดสอบของวัสดุเชิงประกอบพลาสติกและไม้ (WPCs) และวัสดุแกนดัด

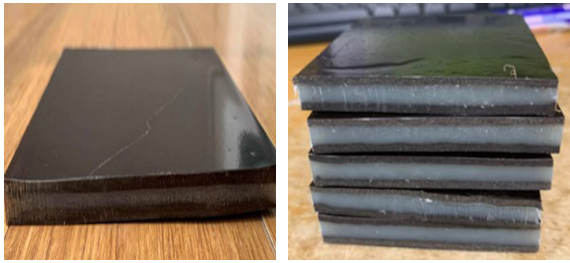
การผลิตชิ้นงานทดสอบประกอบด้วย 3 ขั้นตอนสำคัญ คือ 1) การผลิตแผ่นประกบจากวัสดุเชิงประกอบพลาสติกและ

ไม้ ก่อนการนำผงไม้ยางพาราไปผสมกับเม็ดพลาสติกชนิดพอลิโพรพิลีนรีไซเคิล ต้องนำผงไม้ยางพารามาร้อนให้ผ่านตะแกรงขนาด 80 เมช (<math>< 180 \mu\text{m}</math>) เพื่อแยกขนาด จากนั้นนำผงไม้ยางพาราและเม็ดพลาสติกชนิดพอลิโพรพิลีนรีไซเคิลมาอบเพื่อไล่ความชื้น ที่อุณหภูมิ 110 องศาเซลเซียส เป็นเวลา 8 ชั่วโมง จากนั้นนำผงไม้ยางพารา (Rubberwood Flour; RWF) เม็ดพลาสติกชนิดพอลิโพรพิลีนรีไซเคิล (rPP) สารคู่ควบ (Maleic Anhydride-Grafted Polypropylene; MAPP) สารต้านทานรังสียูวี (UV Stabilizer) และสารหล่อลื่น (Lubricant) ตามอัตราส่วน 44.5 : 50.3 : 3.9 : 0.2 : 1 ร้อยละโดยน้ำหนัก (wt%) ซึ่งเป็นอัตราส่วนที่ให้ค่าสมบัติทางกลที่ดี [14] ทำการผสมด้วยเครื่องอัดรีดแบบเกลียวคู่ รุ่น EMT-26 ที่อุณหภูมิอยู่ในช่วง 170–190 องศาเซลเซียส ความเร็วเฉลี่ย 50 รอบต่อนาที นำวัสดุที่ได้หลังจากการผสมมาตัดเป็นเม็ดวัสดุเชิงประกอบเพื่อให้ได้ขนาด 2–3 มิลลิเมตร แล้วทำการอบไล่ความชื้นอีกครั้งที่อุณหภูมิ 50 องศาเซลเซียส เป็นเวลา 8 ชั่วโมง แล้วจึงนำมาขึ้นรูปด้วยเครื่องอัดรีดที่ 190 องศาเซลเซียส ความดัน  $5.17 \times 10^4$  มิลลิเมตรปรอท เป็นเวลา 10 นาที เพื่อผลิตแผ่นประกบหนา 3 มิลลิเมตร ให้แก่วัสดุแกนดัด 2) การผลิตแผ่นแกนกลางจากพลาสติก 3 ชั้นของวัสดุแกนดัดที่ทำมาจากเม็ดพลาสติกพอลิโพรพิลีนรีไซเคิล พอลิเอทิลีนรีไซเคิล และพอลิเอทิลีนชนิดความหนาแน่นสูงรีไซเคิล โดยทำการขึ้นรูปด้วยเครื่องอัดรีดที่อุณหภูมิหลอมเหลวของพลาสติกแต่ละชนิด ดังแสดงในตารางที่ 1 ที่ความหนา 4 มิลลิเมตร 3) การประกอบเป็นแผ่นวัสดุแกนดัด โดยการนำแผ่นประกบจากวัสดุเชิงประกอบพลาสติกและไม้จำนวน 2 ชั้น ประกบแผ่นแกนกลางแล้วอัดขึ้นรูปด้วยเครื่องอัดรีดที่อุณหภูมิในช่วง 150–190 องศาเซลเซียส ตามอุณหภูมิหลอมเหลวของพลาสติกแต่ละชนิด โดยชิ้นงานทดสอบมีขนาด 250 มิลลิเมตร  $\times$  150 มิลลิเมตร  $\times$  10 มิลลิเมตร (ความกว้าง  $\times$  ความยาว  $\times$  ความหนา) ดังแสดงในรูปที่ 2

### 2.3 วิธีการทดสอบ

#### 2.3.1 การทดสอบสมบัติการตัด

ก่อนการทดสอบสมบัติการตัด ต้องนำชิ้นงานทดสอบ



รูปที่ 2 วัสดุแกนดิวซ์ที่มีแผ่นประกบจากวัสดุเชิงประกอบพลาสติกและไม้ และแกนกลางจากพลาสติก

ตารางที่ 1 อุณหภูมิหลอมเหลวของพลาสติก [15]

Plastic Type	Melting Temperature (°C)
recycled polyethylene (rPE)	99–138
recycled high-density polyethylene (rHDPE)	108–134
recycled polypropylene (rPP)	160–165

ไปอบไล่ความชื้นที่อุณหภูมิ 50 องศาเซลเซียส เป็นเวลา 24 ชั่วโมง โดยเป็นการทดสอบการดัดแบบ 3 จุด (Three-point Bending) ดังแสดงในรูปที่ 3 (ก) ตามมาตรฐาน ASTM D790-92 ชิ้นงานทดสอบมีขนาด 13 มิลลิเมตร × 100 มิลลิเมตร × 10 มิลลิเมตร (กว้าง × ยาว × หนา) โดยใช้เครื่องทดสอบอเนกประสงค์ ระยะห่างระหว่างปารองรับชิ้นงาน (Span Distance) มีระยะ 80 มิลลิเมตร ความเร็วที่ใช้ในการทดสอบการดัดคือ 2 มิลลิเมตรต่อนาที และทดสอบในอุณหภูมิห้อง 25 องศาเซลเซียส แต่ละสูตรการทดลองจะทำการทดลองซ้ำ 5 ตัวอย่าง เพื่อเพิ่มความแม่นยำให้แก่ผลการทดลอง [16]–[20] แล้วทำการหาค่าความแข็งแรงดัดและค่ามอดุลัสเฉื่อยของแต่ละสูตรการทดลอง

### 2.3.2 การทดสอบการกระแทก

การทดสอบการกระแทก (Impact Strength) ตามมาตรฐาน ASTM D6110 ชิ้นงานทดสอบมีขนาด 64 มิลลิเมตร × 13 มิลลิเมตร × 10 มิลลิเมตร (กว้าง × ยาว × หนา) เป็นการทดสอบเพื่อหาความสามารถในการรับแรงที่มากกระทำกับวัสดุด้วยความเร็ว (Dynamic Load) ดังแสดงในรูปที่ 3 (ข)



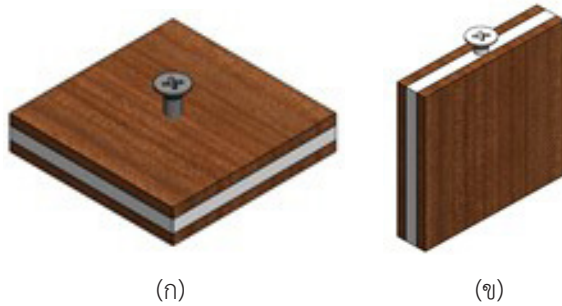
(ก) (ข) (ค)

รูปที่ 3 การทดสอบสมบัติ (ก) การดัด (ข) การกระแทก (ค) การทดสอบความยึดเหนี่ยวของตะปูเกลียวบริเวณผิวชิ้นงาน

โดยจะใช้ค้อนเหวี่ยง กระแทกชิ้นงานด้วยแรงขนาด 2 จูล ซึ่งลักษณะการเหวี่ยงจะคล้ายลูกตุ้มนาฬิกา ใช้วิธีการจับยึดชิ้นงานแบบไอซอด (Izod Test) คือชิ้นงานทดสอบจะถูกจับยึดเพียงด้านเดียว และปลายอีกด้านจะตั้งขึ้นและหันหน้ารอยบากรูปตัววี มีความลึกที่ 2.45–2.50 มิลลิเมตร เข้าสู่จุดกระแทกของค้อน โดยมีค่าความคลาดเคลื่อนการทดลองที่ 0.004 จูล และในแต่ละสูตรมีการทดลองซ้ำ 5 ตัวอย่าง [16]–[20]

### 2.3.3 การทดสอบความยึดเหนี่ยวของตะปูเกลียว

การทดสอบความยึดเหนี่ยวของตะปูเกลียว (Screw Holding Resistance) ตามมาตรฐาน EN 312: 2010 ที่ความหนา > 6.0–13.0 มิลลิเมตร โดยชิ้นงานทดสอบมีขนาด 50 มิลลิเมตร × 50 มิลลิเมตร (กว้าง × ยาว) เจาะรูขนาดเส้นผ่านศูนย์กลาง 1.5 มิลลิเมตร ลึก 6 มิลลิเมตร แล้วขันตะปูเกลียวขนาด 4 มิลลิเมตร × 40 มิลลิเมตร (ขนาดเส้นผ่านศูนย์กลาง × ยาว) ให้มีความลึกสมบูรณ์ลง 15 มิลลิเมตร ไม่นับส่วนปลายเรียวของตะปูเกลียว ลงไปในชิ้นงานทั้งบนผิวและขอบของชิ้นงานดังแสดงในรูปที่ 4 จากนั้นนำไปเข้าเครื่องทดสอบอเนกประสงค์โดยใช้หัวจับแบบดิ่ง ดิ่งให้ตะปูเกลียวถอนออกจากชิ้นงานทดสอบดังแสดงในรูปที่ 3 (ค) แรงที่ใช้ในการดึงจะต้องอยู่ในแนวเดียวกับตะปูเกลียวและตั้งฉากกับผิวหน้า หรือผิวขอบของชิ้นงานทดสอบ มีอัตราการเพิ่มแรงดึงที่สม่ำเสมอ และใช้ความเร็วในการดึง 2 มิลลิเมตรต่อนาที ในแต่ละสูตรทำการทดลองซ้ำ 5 ตัวอย่าง [16]–[20]



รูปที่ 4 การขึ้นตะปูเกลียวบริเวณ (ก) ผิวขี้นงาน (ข) ขอบขี้นงาน

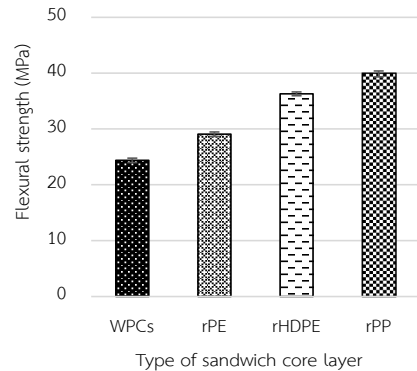
### 2.3.4 การทดสอบการดูดซับน้ำ

การทดสอบสมบัติการดูดซับน้ำ (Water Absorption) ตามมาตรฐาน ASTM D570-98 ขี้นงานที่ใช้ทดสอบมีขนาด 6 มิลลิเมตร × 13 มิลลิเมตร × 10 มิลลิเมตร (กว้าง × ยาว × หนา) โดยก่อนการทดสอบต้องนำขี้นงานทดสอบ ไปลดความชื้นด้วยการอบที่อุณหภูมิ 60 องศาเซลเซียส เป็นเวลา 24 ชั่วโมง จากนั้นนำมาชั่งน้ำหนักของขี้นงานทันที ด้วยเครื่องชั่งน้ำหนักแบบดิจิทัลที่มีความละเอียด 0.001 กรัม แล้วนำขี้นงานทดสอบ แต่ละสูตรไปแช่ในน้ำที่อุณหภูมิห้อง 25 องศาเซลเซียส เป็นเวลา 24 ชั่วโมง เมื่อครบเวลาที่กำหนด จึงนำขี้นงานมาชั่งน้ำหนัก เพื่อคำนวณหาเปอร์เซ็นต์การเพิ่มขึ้นของน้ำหนัก โดยในแต่ละสูตรทำการทดลองทำซ้ำ 5 ตัวอย่าง [16]–[20]

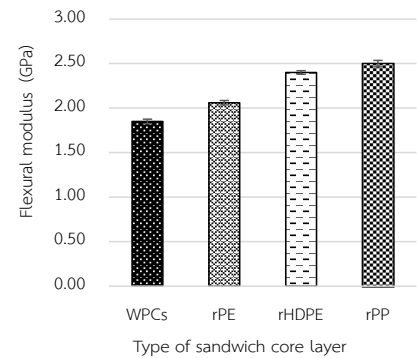
## 3. ผลการทดลอง

### 3.1 ผลการทดสอบสมบัติแรงดัด

ผลกระทบของชนิดแกนกลางของวัสดุแกนดิวซ์ต่อค่าความแข็งแรงดัดและค่ามอดูลัสการดัด ดังแสดงในรูปที่ 5 (ก) และ (ข) ตามลำดับ จะเห็นว่าค่าความแข็งแรงดัดและค่ามอดูลัสการดัดมีพฤติกรรมที่คล้ายกันคือ เมื่อนำพลาสติกชนิดพอลิโพรพิลีนรีไซเคิลมาเป็นแกนกลางของวัสดุแกนดิวซ์ ส่งผลให้ค่าความแข็งแรงดัด และค่ามอดูลัสการดัดมีค่าสูงขึ้น เมื่อเปรียบเทียบกับการใช้พลาสติกชนิดพอลิเอทิลีนชนิดความหนาแน่นสูงรีไซเคิล พอลิเอทิลีนรีไซเคิล ตามลำดับ เนื่องจากการใช้วัสดุแกนกลางจากพลาสติกที่มีความยืดหยุ่นสูงจะเป็นตัวช่วยในการรับ และกระจายแรงจากการกดอัดให้กับวัสดุแกนดิวซ์ได้ดีกว่าวัสดุเชิงประกอบพลาสติกและไม้แบบ



(ก)



(ข)

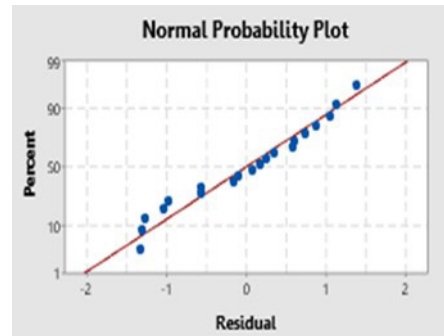
รูปที่ 5 สมบัติแรงดัดของขี้นทดสอบวัสดุแกนดิวซ์ (ก) ค่าความแข็งแรงดัดและ (ข) มอดูลัสการดัด

ชั้นเดียว ทำให้การรวมจุดความเค้นที่อาจทำความเสียหายให้ขี้นงานลดน้อยลง [7], [8] และจากการนำวัสดุเชิงประกอบพลาสติกและไม้ ซึ่งเป็นวัสดุผสมระหว่างไม้ยางพาราและพลาสติกชนิดพอลิโพรพิลีนรีไซเคิลมาเป็นแผ่นประกบแก้ววัสดุแกนดิวซ์ โดยมีแกนกลางที่ทำมาจากพลาสติกชนิดเดียวกันด้วยแล้ว จึงทำให้เกิดการยึดติดระหว่างเมทริกซ์ได้ดีกว่าแกนกลางจากพลาสติกต่างชนิดกับแผ่นประกบอีกด้วย

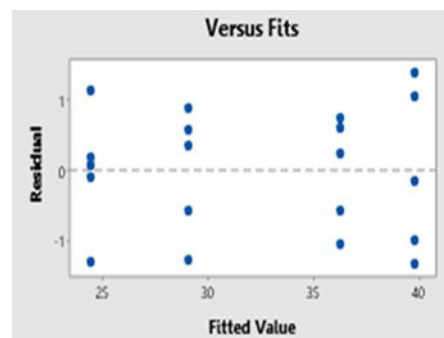
เมื่อเปรียบเทียบวัสดุเชิงประกอบพลาสติกและไม้แบบชั้นเดียวกับวัสดุแกนดิวซ์ที่มีพลาสติกชนิดพอลิโพรพิลีนรีไซเคิลมาเป็นแกนกลางพบว่า ให้ค่าความแข็งแรงดัดเพิ่มขึ้นจากเดิม 24.38 เมกะปาสคาล เป็น 39.86 เมกะปาสคาล และค่ามอดูลัสการดัดเพิ่มขึ้นจากเดิม 1.85 กิกะปาสคาล เป็น 2.50 กิกะปาสคาล คิดเป็น 63% และ 35% ตามลำดับ

เมื่อนำค่าเฉลี่ยที่ได้จากชิ้นงานทดสอบมาวิเคราะห์ค่าทางสถิติเพื่อทดสอบว่าชนิดของแกนกลางของวัสดุแกนดิวซ์ส่งผลต่อค่าสมบัติทางกลหรือไม่ โดยใช้การวิเคราะห์ความแปรปรวนทางเดียว (One-way ANOVA) โดยมีปัจจัยในการทดสอบ คือ ชนิดของแกนกลางของวัสดุแกนดิวซ์ 4 ระดับ คือ WPCs, rPE, rHDPE และ rPP แล้วทำการเปรียบเทียบความแตกต่างของแต่ละปัจจัยด้วยวิธี Tukey's Comparison Test ที่ระดับนัยสำคัญ 0.05 โดยเบื้องต้นได้ทำการวิเคราะห์ความพอเพียงของรูปแบบจำลอง ดังแสดงในรูปที่ 6 (ก) กราฟ Normal Probability ของสมบัติแรงดัด ไม่มีค่าผิดปกติเกิดขึ้นในกราฟและข้อมูลมีความแนบชิดกับเส้นตรง จึงสรุปได้ว่าข้อมูลมีการแจกแจงแบบปกติ รูปที่ 6 (ข) แสดงกราฟความแปรปรวนคงที่ของค่าความผิดพลาดพบว่า ข้อมูลมีความแปรปรวนของค่าความผิดพลาดที่สม่ำเสมอ รูปที่ 6 (ค) แสดงกราฟที่มีความเป็นอิสระต่อกันพบว่า ข้อมูลมีการกระจายตัวที่ไม่มีรูปแบบ และกระจายตัวอยู่รอบค่าศูนย์ที่เท่าๆ กัน จึงเป็นข้อมูลที่มีความเสถียรภาพของความแปรปรวน และมีสมบัติด้านความเป็นอิสระต่อกัน ทั้งนี้การวิเคราะห์ความพอเพียงของรูปแบบจำลองในสมมติมอดูลัส การดัด การกระแทก การยึดเหนี่ยวตะปูเกลียวบริเวณผิวหน้า และขอชิ้นงาน และการดูดซับน้ำ มีการวิเคราะห์ในรูปแบบเดียวกันและพบว่า ทุกชุดข้อมูลมีการแจกแจงแบบปกติ ข้อมูลมีความแปรปรวนของค่าความผิดพลาดแบบคงที่ และข้อมูลมีความเป็นอิสระต่อกัน เหมือนเช่นความแข็งแรงดัด

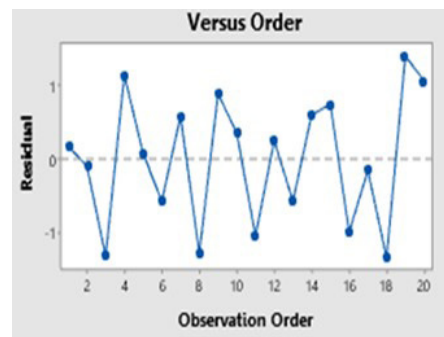
ผลการวิเคราะห์ทางสถิติ ดังแสดงในตารางที่ 2 พบว่า ชนิดแกนกลางของวัสดุแกนดิวซ์ ส่งผลต่อค่าสมบัติทางกลทั้งในส่วนของคุณสมบัติแรงดัด และสมบัติการกระแทก อย่างมีนัยสำคัญ ที่  $\alpha = 0.05$  ( $p$ -value < 0.05) เช่นเดียวกันเมื่อวิเคราะห์โดยใช้ Tukey's Test พบว่า ชนิดแกนกลางของวัสดุแกนดิวซ์ทำให้ค่าทุกการทดสอบสมบัติทางกลแตกต่างกันอย่างมีนัยสำคัญเช่นกัน ยกตัวอย่างเช่น ผลกระทบของชนิดแกนกลางของวัสดุแกนดิวซ์ต่อค่าความแข็งแรงดัดของวัสดุแกนดิวซ์ที่มีชิ้นแกนกลางจาก rPE (C) แตกต่างอย่างมีนัยสำคัญกับวัสดุเชิงประกอบพลาสติกและไม้ (WPCs) แบบชั้นเดียว (D) ซึ่งให้ผลเช่นเดียวกันกับวัสดุแกนดิวซ์ที่มีชิ้นแกนกลางจาก



(ก)



(ข)



(ค)

รูปที่ 6 การตรวจสอบความเพียงพอของรูปแบบจำลองของสมบัติความแข็งแรงดัด (ก) กราฟ Normal Probability (ข) กราฟความแปรปรวนคงที่ของค่าความผิดพลาด (ค) กราฟที่มีความเป็นอิสระต่อกัน

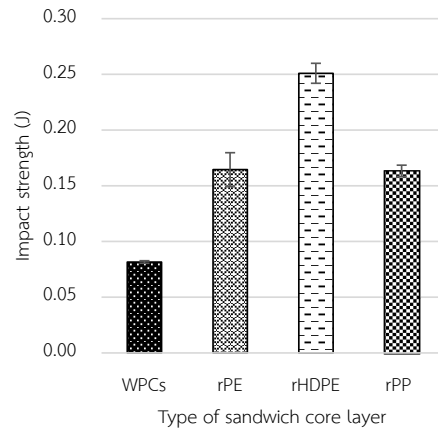
rHDPE (B) และ rPP (A) เมื่อเปรียบเทียบกับวัสดุแกนดิวซ์ที่มีชนิดแกนกลางต่างกัน rPP (A) rHDPE (B) และ rPE (C) พบว่า ให้ค่าความแข็งแรงดัดที่แตกต่างกันอย่างมีนัยสำคัญ

**ตารางที่ 2** การวิเคราะห์ความแปรปรวนของวัสดุแกนด้วซึชจากแกนกลางพลาสติกต่างชนิดที่มีผลต่อสมบัติทางกล

Properties	Core layer			Control (WPCs)
	rPE	rHDPE	rPP	
Flexural strength (MPa)	29.07 <sup>C</sup>	36.29 <sup>B</sup>	39.86 <sup>A</sup>	24.38 <sup>D</sup>
Flexural modulus (GPa)	2.06 <sup>B</sup>	2.40 <sup>A</sup>	2.50 <sup>A</sup>	1.85 <sup>C</sup>
Impact strength (J)	0.16 <sup>B</sup>	0.25 <sup>A</sup>	0.16 <sup>B</sup>	0.08 <sup>C</sup>
Screw holding resistance of face (N)	1494 <sup>C</sup>	1582 <sup>C</sup>	2363 <sup>A</sup>	2166 <sup>B</sup>
Screw holding resistance of edge (N)	1394 <sup>B</sup>	1981 <sup>A</sup>	2443 <sup>A</sup>	1280 <sup>B</sup>
Water absorption (%)	0.33 <sup>B</sup>	0.24 <sup>B</sup>	0.18 <sup>B</sup>	0.54 <sup>A</sup>

### 3.2 ผลการทดสอบสมบัติการกระแทก

จากตารางที่ 2 ซึ่งเป็นการวิเคราะห์ผลความแปรปรวนทางเดียวของชนิดแกนกลางของวัสดุแกนด้วซึชพบว่า ส่งผลต่อค่าสมบัติการกระแทก (Impact Property) อย่างมีนัยสำคัญที่  $\alpha = 0.05$  นอกจากนี้รูปที่ 7 ยังแสดงให้เห็นว่า เมื่อนำพลาสติกชนิดพอลิเอทิลีนชนิดความหนาแน่นสูงรีไซเคิลมาใช้เป็นวัสดุแกนกลางของวัสดุแกนด้วซึชจะทำให้มีค่าแรงกระแทกสูงที่สุด รองลงมาคือ แกนกลางจากพอลิเอทิลีนรีไซเคิล และพอลิโพรพิลีนรีไซเคิล ตามลำดับ และเมื่อเปรียบเทียบกับวัสดุเชิงประกอบพลาสติกและไม้แบบชั้นเดียวกับวัสดุแกนด้วซึชที่มีพลาสติกชนิดพอลิเอทิลีนชนิดความหนาแน่นสูงรีไซเคิลมาเป็นแกนกลางพบว่า มีค่าแรงกระแทกเพิ่มขึ้น 68% (จาก 0.08 จูล เป็น 0.25 จูล) ซึ่งสอดคล้องกับงานวิจัยของ Hao และคณะ [8] ที่พบว่า เมื่อนำพลาสติกชนิดพอลิเอทิลีนชนิดความหนาแน่นต่ำมาเป็นแกนกลางให้กับวัสดุแกนด้วซึชและนำมาเปรียบเทียบกับวัสดุเชิงประกอบพลาสติกชนิดพอลิเอทิลีนชนิดความหนาแน่นสูง และไม้ปาล์มเพียงชั้นเดียว ทำให้ค่าแรงกระแทกเพิ่มขึ้น 77% ทั้งนี้สามารถอธิบายได้ว่าชั้นแกนกลางของพลาสติกที่มีความยืดหยุ่นสามารถช่วยดูดซับ และกระจายแรงที่มากระแทกบนชิ้นงานได้ดีกว่าวัสดุเชิงประกอบพลาสติกและไม้แบบชั้นเดียวที่มีผงไม้ผสมอยู่ในปริมาณมาก [21], [22] อีกทั้ง



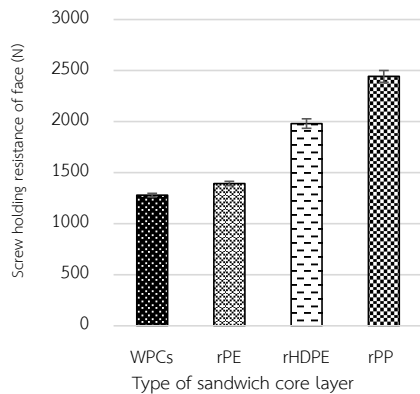
**รูปที่ 7** สมบัติการกระแทกของชิ้นทดสอบวัสดุแกนด้วซึช

ผงไม้เป็นวัสดุที่ชอบน้ำ ซึ่งสามารถดูดซับน้ำจากความชื้นโดยรอบได้ในระหว่างกระบวนการขึ้นรูป และการทดสอบชิ้นงาน ความชื้นเหล่านี้สามารถเข้าไปสร้างพันธะไฮโดรเจนกับหมู่ไฮโดรดรอกซิลในผงไม้แทนที่จะสร้างพันธะไฮโดรเจนระหว่างสายโซ่ของเซลลูโลสด้วยกันเอง [16] จึงทำให้ค่าแรงกระแทกของวัสดุเชิงประกอบพลาสติกและไม้มีค่าลดลง

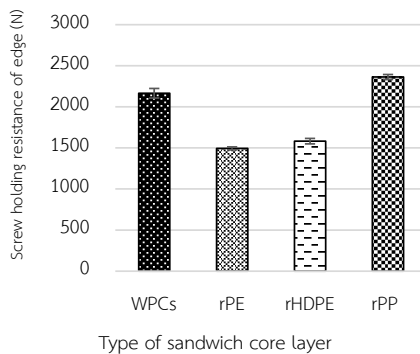
### 3.3 ผลการทดสอบความยืดหยุ่นของตะปู

ผลกระทบของชนิดแกนกลางของวัสดุแกนด้วซึชต่อค่าความยืดหยุ่นของตะปูบริเวณผิวหน้า และขอบของชิ้นงานดังแสดงในรูปที่ 8 พบว่า ทุกสูตรการทดสอบมีค่าเฉลี่ยความยืดหยุ่นสอดคล้องตามมาตรฐานการทดสอบ EN 320 และยังพบว่า ชนิดแกนกลางของวัสดุแกนด้วซึชส่งผลต่อค่าสมบัติความยืดหยุ่นของตะปูเกลียวบริเวณผิวชิ้นงานและความยืดหยุ่นของตะปูเกลียวบริเวณขอบชิ้นงานอย่างมีนัยสำคัญ ที่  $\alpha = 0.05$  ดังแสดงในตารางที่ 2 ผลการทดสอบดังแสดงในรูปที่ 8 (ก) แสดงให้เห็นค่าความยืดหยุ่นของตะปูเกลียวบริเวณผิวหน้าชิ้นงาน ซึ่งจะพบว่า พลาสติกชนิดพอลิโพรพิลีนรีไซเคิล เมื่อนำมาใช้เป็นวัสดุแกนกลางแก้ววัสดุแกนด้วซึชจะทำให้มีค่าความยืดหยุ่นของตะปูบริเวณผิวหน้าของชิ้นงานสูงที่สุด รองลงมาคือ แกนกลางจากพอลิเอทิลีนชนิดความหนาแน่นสูงรีไซเคิล และพอลิเอทิลีนรีไซเคิล ตามลำดับ ทั้งนี้เนื่องจากการยึดติดกัน 3 ชั้น ระหว่างแกนกลาง และ





(ก)



(ข)

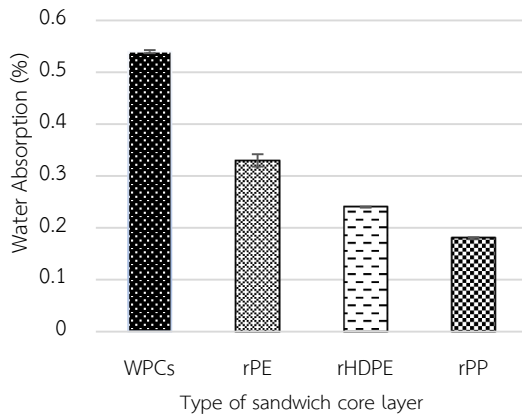
**รูปที่ 8** ความยึดเหนี่ยวของตะปูของชิ้นทดสอบวัสดุแกนดิวซ์ (ก) บริเวณผิวหน้าของชิ้นงานและ (ข) บริเวณขอบของชิ้นงาน

แผ่นประกบที่เป็นพลาสติกชนิดเดียวกันมีความเข้ากันได้ดีกว่าแกนกลางที่ทำจากพลาสติกต่างชนิดกับแผ่นประกบ และเมื่อเปรียบเทียบวัสดุเชิงประกอบพลาสติกและไม้แบบชั้นเดียวกับวัสดุแกนดิวซ์ที่มีพลาสติกชนิดพอลิโพรพิลีนรีไซเคิลมาเป็นแกนกลางพบว่า ค่าความยึดเหนี่ยวของตะปูบริเวณผิวชิ้นงานเพิ่มขึ้น 9% (จาก 2,166 N เป็น 2,363 N) แต่เนื่องจากวัสดุเชิงประกอบพลาสติกและไม้แบบชั้นเดียวเป็นการผสมระหว่างพลาสติกและผงไม้จึงทำให้เกิดการยึดติดกันได้ดีระหว่างเมทริกซ์ [21], [22] จึงทำให้มีค่าความยึดเหนี่ยวตะปูได้ดีกว่าวัสดุแกนดิวซ์ 3 ชั้น จากแกนกลางพอลิเอทิลีนชนิดความหนาแน่นสูงรีไซเคิล และพอลิเอทิลีนรีไซเคิล

แต่จากรูปที่ 8 (ข) ซึ่งแสดงค่าความยึดเหนี่ยวของตะปูบริเวณขอบของชิ้นงาน จะเห็นได้ว่าวัสดุแกนดิวซ์ที่มีแกนกลางจากพลาสติกรีไซเคิลทั้ง 3 ชนิด ให้ค่าความยึดเหนี่ยวของตะปูเฉลี่ยสูงกว่าวัสดุเชิงประกอบพลาสติกและไม้แบบชั้นเดียว โดยมีค่าสูงสุดที่แกนกลางจากพลาสติกชนิดพอลิโพรพิลีนรีไซเคิล รองลงมาคือ แกนกลางจากพอลิเอทิลีนชนิดความหนาแน่นสูงรีไซเคิล และพอลิเอทิลีนรีไซเคิล ตามลำดับ เมื่อเปรียบเทียบวัสดุเชิงประกอบพลาสติกและไม้แบบชั้นเดียวกับวัสดุแกนดิวซ์ที่มีพลาสติกชนิดพอลิโพรพิลีนรีไซเคิลมาเป็นแกนกลางพบว่า ค่าความยึดเหนี่ยวของตะปูบริเวณขอบของชิ้นงานเพิ่มขึ้น 91% (จาก 1,280 N เป็น 2,443 N) ทั้งนี้เนื่องจากวัสดุแกนดิวซ์มีแกนกลางที่เป็นพลาสติกที่จะช่วยทำให้ชิ้นงานทดสอบมีความเหนียว และยึดหยุ่นมากกว่าการเจาะตะปูเกลียวลงไปในวัสดุเชิงประกอบพลาสติกและไม้แบบชั้นเดียว

### 3.4 ผลการทดสอบการดูดซับน้ำ

ผลการวิเคราะห์ความแปรปรวนทางเดียว ดังแสดงในตารางที่ 2 พบว่า ชนิดของแกนกลางของวัสดุแกนดิวซ์ส่งผลต่อค่าสมบัติการดูดซับน้ำอย่างมีนัยสำคัญ ที่  $\alpha = 0.05$  ดังแสดงในรูป 9 พบว่า หลังจากการทดสอบการแช่ชิ้นงานทดสอบในน้ำเป็นระยะเวลา 24 ชั่วโมง พบว่า วัสดุเชิงประกอบพลาสติกและไม้แบบชั้นเดียวมีการดูดซับน้ำมากกว่าวัสดุแกนดิวซ์ในทุกชนิดแกนกลางพลาสติก สามารถอธิบายได้จากการที่วัสดุเชิงประกอบพลาสติกและไม้แบบชั้นเดียวอาจมีรูพรุนมากเนื่องจากการผสมกันระหว่างพลาสติก และผงไม้ซึ่งผงไม้ไม่ได้รับการห่อหุ้มด้วยปริมาณพลาสติกที่เพียงพอส่งผลให้เกิดช่องว่าง [23], [24] ทำให้น้ำแทรกซึมเข้าไปได้ง่ายกว่าวัสดุแกนดิวซ์ที่มีชั้นแผ่นประกบที่ทำจากวัสดุเชิงประกอบพลาสติกและไม้ที่มีความบางกว่า และแกนกลางที่ทำมาจากพลาสติกก็ทำให้น้ำแทรกซึมเข้าไปบริเวณชิ้นงานได้น้อยมาก [8] ชนิดแกนกลางที่ทำให้ค่าการดูดซับน้ำลดลงได้ดีที่สุดคือ แกนกลางจากพลาสติกชนิดพอลิโพรพิลีนรีไซเคิล รองลงมาคือ แกนกลางจากพอลิเอทิลีนชนิดความหนาแน่นสูงรีไซเคิล และพอลิเอทิลีนรีไซเคิล ตามลำดับ เนื่องจากเป็นแกนกลางที่มีพลาสติกชนิดเดียวกันกับแผ่นประกบจึงทำให้เกิดการหลอม



รูปที่ 9 การดูดซับน้ำของชั้นทดสอบวัสดุแซนดวิช

และยึดติดกันได้ดี และมีช่องว่างใ้ให้น้ำแทรกซึมได้น้อย และเมื่อเปรียบเทียบกับวัสดุเชิงประกอบพลาสติกและไม้แบบชั้นเดียวแล้วทำให้ค่าการดูดซับน้ำลดลงถึง 67% (จาก 0.54% เป็น 0.18%)

#### 4. สรุป

การนำพลาสติกรีไซเคิล 3 ชนิด ได้แก่ พลาสติกชนิดพอลิโพรพิลีนรีไซเคิล (rPP) พอลิเอทิลีนชนิดความหนาแน่นสูงรีไซเคิล (rHDPE) และพอลิเอทิลีนรีไซเคิล (rPE) มาเป็นแกนกลางใ้แก่วัสดุแซนดวิชที่มีแผ่นประกบเป็นวัสดุเชิงประกอบพลาสติกชนิดพอลิโพรพิลีนรีไซเคิล (rPP) และผงไม้ยางพาราเมื่อนำมาเปรียบเทียบกับวัสดุเชิงประกอบพลาสติกและไม้แบบชั้นเดียวแล้วพบว่า ส่งผลทำให้ชิ้นงานทดสอบมีสมบัติทางกลดีขึ้น โดยเฉพาะสมบัติแรงดัด และการกระแทกซึ่งเป็นผลมาจากการที่มีพลาสติกแกนกลางคอยช่วยเพิ่มความยืดหยุ่นใ้แก่วัสดุแซนดวิช และยังช่วยเพิ่มความยึดเหนี่ยวใ้แก่ตะปูเกลียวอีกด้วย เหมาะสำหรับการนำไปประยุกต์ใช้งานที่ต้องจับยึดด้วยตะปูเกลียวเป็นอย่างมาก นอกจากนี้ยังส่งผลใ้เกิดการดูดซับน้ำลดลง จึงช่วยใ้วัสดุแซนดวิชสามารถนำมาใช้งานใ้หลากหลายยิ่งขึ้นในหลากหลายสภาพแวดล้อม ซึ่งในภาพรวมแล้วชนิดของพลาสติกที่นำมาเป็นแกนกลางใ้แก่วัสดุแซนดวิชและใ้ค่าสมบัติทางกลที่ดี คือพลาสติกชนิดพอลิโพรพิลีนรีไซเคิล เมื่อพิจารณาต้นทุนในระดับห้องปฏิบัติ

การของวัสดุแซนดวิช ได้แก่ ต้นทุนของวัสดุและต้นทุนด้านพลังงาน มีต้นทุนรวมประมาณ 175 บาทต่อการผลิต 1 แผ่น (260 มิลลิเมตร × 150 มิลลิเมตร × 10 มิลลิเมตร) โดยเลือกคำนวณแผ่นวัสดุแซนดวิชที่มีแผ่นประกบจากวัสดุเชิงประกอบพลาสติกและผงไม้โดยมีแกนกลางจากพลาสติก rPP ซึ่งเป็นสูตรที่ใ้สมบัติทางกลที่ดีที่สุดในการทดลอง ผลจากงานวิจัยนี้ จะช่วยเพิ่มแนวทางในการนำพลาสติกใ้แล้วกลับมารีไซเคิลและผลิตเป็นวัสดุใหม่ทางวิศวกรรมที่เพิ่มคุณค่าโดยสามารถเปลี่ยนความหนาของชั้นแผ่นประกบหรือแกนกลางใ้เหมาะสมกับการใช้งาน อีกทั้งยังเป็นมิตรต่อสิ่งแวดล้อมอีกด้วย

#### 5. กิตติกรรมประกาศ

งานวิจัยนี้สำเร็จลุล่วงไปได้ด้วยดี โดยได้รับคำแนะนำและคำปรึกษาที่ดีจากกลุ่มวิจัยเทคโนโลยีไม้ยางพาราและการจัดการ สาขาวิชาวิศวกรรมอุตสาหกรรมและการผลิต คณะวิศวกรรมศาสตร์ มหาวิทยาลัยสงขลานครินทร์ และได้รับทุนอุดหนุนการวิจัยเพื่อทำวิทยานิพนธ์จากบัณฑิตวิทยาลัย มหาวิทยาลัยสงขลานครินทร์

#### เอกสารอ้างอิง

- [1] H. Fu, M. Dun, H. Wang, W. Wang, R. Ou, Y. Wang, T. Liu, and Q. Wang, "Creep response of wood flour-high-density polyethylene/laminated veneer lumber coextruded composites," *Construction and Building Materials*, vol. 237, 2020.
- [2] S. M. Mirmehdi, F. Zeinaly, and F. Dabbagh, "Date palm wood flour as filler of linear low-density polyethylene," *Composites: Part B*, vol. 56, pp. 137–141, 2014.
- [3] J. Zhang, Y. Li, D. Xing, Q. Wang, H. Wang, and A. Koubaa, "Reinforcement of continuous fibers for extruded wood-flour/HDPE composites: Effects of fiber type and amount," *Construction and Building Materials*, vol. 228, 2019.



- [4] A. Zolfaghari and A. H. Behraves, "Continuous glass fiber reinforced wood plastic composite in extrusion process: Mechanical properties," *Materials & Design*, vol. 51, pp. 701–708, 2013.
- [5] R. Ou, H. Zhao, S. Sui, Y. Song, and Q. Wang, "Reinforcing effects of Kevlar fiber on the mechanical properties of wood-flour/high-density-polyethylene composites," *Composites Part A: Applied Science and Manufacturing*, vol. 41, no. 9, pp. 1272–1278, 2010.
- [6] R. Nasirzadeh and A. R. Sabet, "Study of foam density variations in composite sandwich panels under high velocity impact loading," *International Journal of Impact Engineering*, vol. 63, pp. 129–139, 2014.
- [7] J. P. Vitale, G. Francucci, J. Xiong, and A. Stocchi, "Failure mode maps of natural and synthetic fiber reinforced composite sandwich panels," *Composites Part A: Applied Science and Manufacturing*, vol. 94, pp. 217–225, 2017.
- [8] X. Hao, H. Zhou, Y. Xie, H. Mu, and Q. Wang, "Sandwich-structured wood flour/HDPE composite panels: Reinforcement using a linear low-density polyethylene core layer," *Construction and Building Materials*, vol. 164, pp. 489–496, 2018.
- [9] Y. Zhang, Z. Zong, Q. Liu, J. Ma, Y. Wu, and Qing Li, "Static and dynamic crushing responses of CFRP sandwich panels filled with different reinforced materials," *Materials & Design*, vol. 117, pp. 396–408, 2017.
- [10] G. -I. Shim, H. -W. Eom, S. -H. Kim, J. -K. Park, and S. -Y. Choi, "Fabrication of lightweight and thin bulletproof windows using borosilicate glass strengthened by ion exchange," *Composites Part B: Engineering*, vol. 69, pp. 44–49, 2015.
- [11] G. -I. Shim, S. -H. Kim, D. -L. Ahn, J. -K. Park, D. -H. Jin, D. -T. Chung, and S. -Y. Choi, "Experimental and numerical evaluation of transparent bulletproof material for enhanced impact-energy absorption using strengthened-glass/polymer composite," *Composites Part B: Engineering*, vol. 97, pp. 150–161, 2016.
- [12] G. -I. Shim, S. -H. Kim, H. -W. Eom, D. -L. Ahn, J. -K. Park, and S. -Y. Choi, "Improvement in ballistic impact resistance of a transparent bulletproof material laminated with strengthened soda-lime silicate glass," *Composites Part B: Engineering*, vol. 77, pp. 169–178, 2015.
- [13] Pollution Control Department. (2020, August 9). *Plastic Waste Management 2018* [Online] (in Thai). Available: [http://www.pcd.go.th/info\\_serv/waste.html](http://www.pcd.go.th/info_serv/waste.html)
- [14] C. Homkhiew, T. Ratanawilai, and W. Thongruang, "The optimal formulation of recycled polypropylene/rubberwood flour composites from experiments with mixture design," *Composites: Part B*, vol. 56, pp. 350–357, 2014.
- [15] Department of Primary Industries and Mines. (2020, August 10). *Waste account database* [Online] (in Thai). Available: <http://recycle.dpim.go.th>
- [16] M. A. M. Elamin, S. X. Li, Z. A. Osman, and T. A. Otitoju, "Preparation and characterization of wood-plastic composite by utilizing a hybrid compatibilizer system," *Industrial Crops & Products*, vol. 154, 2020.
- [17] L. Jiang, J. Fu, and C. He, "Reliability analysis of wood-plastic composites in simulated seawater conditions: Effect of iron oxide pigments," *Journal of Building Engineering*, vol. 31, 2020.

- [18] X. Gao, L. Lin, J. Pang, F. Chen, and Q. Li, "Effects of impulse-cyclone drying and silane modification on the properties of wood fiber/HDPE composite material," *Carbohydrate Polymers*, vol. 207, pp. 343–351, 2019.
- [19] X. Hao, X. Yi, L. Sun, D. Tu, Q. Wang, and R. Ou, "Mechanical properties, creep resistance, and dimensional stability of core/shell structured wood flour/polyethylene composites with highly filled core layer," *Construction and Building Materials*, vol. 226, pp. 879–887, 2019.
- [20] S. Y. Shen, F. J. Masters, H. L. Upjohn II, and C. C. Ferraro, "Mechanical resistance properties of FRP/polyol-isocyanate foam sandwich panels," *Composites Structures*, vol. 99, pp. 419–432, 2013.
- [21] D. G. García, A. Carbonell, M. D. Samper, D. G. Sanoguera, and R. Balart, "Green composites based on polypropylene matrix and hydrophobized spend coffee ground (SCG) powder," *Composites Part B: Engineering*, vol. 78, pp. 256–265, 2015.
- [22] Y. Zhua and Y. Sun, "Dynamic response of foam core sandwich panel with composite facesheets during low-velocity impact and penetration," *International Journal of Impact Engineering*, vol. 139, 2020.
- [23] K. B. Adhikary, S. Pang, and M. P. Staige, "Long-term moisture absorption and thickness swelling behaviour of recycled thermoplastics reinforced with *Pinus radiata* sawdust," *Chemical Engineering Journal*, vol. 142, no. 2, pp. 190–198, 2008.
- [24] R. Ou, Y. Xie, M. P. Wolcott, S. Sui, and Q. Wang, "Morphology, mechanical properties, and dimensional stability of wood particle/high density polyethylene composites: Effect of removal of wood cell wall composition," *Materials & Design*, vol. 58, pp. 339–345, 2014.